

# شبیه سازی حذف فتوکاتالیستی ترکیب‌های آلی فرار در راکتور بستر سیال

امیر معتمد داشلی بروون<sup>+</sup>، رحمت ستوده قره‌باغ\*

تهران، دانشگاه تهران، پردیس دانشکده‌های فنی، دانشکده مهندسی شیمی

محمد حاج آقازاده

ارومیه، دانشگاه علوم پزشکی ارومیه، دانشکده بهداشت، گروه بهداشت حرفه‌ای

حسین کاکوئی

تهران، دانشگاه علوم پزشکی تهران، دانشکده بهداشت، گروه بهداشت حرفه‌ای

**چکیده:** اکسایش فتوکاتالیستی در راکتورهای گوناگون به عنوان یک روش پذیرفته شده از نظر اقتصادی و زیست محیطی، برای حذف ترکیب‌های آلی فرار به کار می‌رود، و در میان راکتورهای گوناگون، راکتور بستر سیال به عنوان یک راکتور کارآمد برای این منظور استفاده می‌شود. مدل سازی و شبیه‌سازی راکتورهای راکتور بستر سیال فتوکاتالیستی به منظور افزایش اندازه‌های راکتور از مقیاس آزمایشگاهی به مقیاس صنعتی و بهینه سازی و کنترل کار کرد آن ضروری است. برای این منظور در این پژوهش، مدل اتیل کتون (MEK)، تری کلرواتیلن (TCE) و تولوئن به عنوان سه مدل آلانده انتخاب شد و تبدیل فتوکاتالیستی آنها در راکتور بستر سیال شبیه‌سازی شد. به منظور شبیه سازی عملکرد راکتور بستر سیال فتوکاتالیستی، زیرمدل‌های هیدرودینامیکی و سینتیکی با همدیگر به طور همزمان حل شدند. مدل سینتیکی لانگمویر - هینشلوود برای تبدیل فتوکاتالیستی آلانده‌ها به کار گرفته شد و ثابت‌های سینتیکی آنها با استفاده از نتیجه‌های آزمایشگاهی تعیین شد. همچنین مدل دینامیک دو فازی به عنوان زیر مدل هیدرودینامیکی انتخاب شد و اعتبار این مدل از روش مقایسه نتیجه‌های شبیه‌سازی با نتیجه‌های آزمایشگاهی مورد بررسی قرار گرفت. دیده شد که توافق خوبی بین نتیجه‌های تجربی و نتیجه‌های به دست آمده از این مدل وجود دارد. نتیجه‌های این مدل سازی و شبیه‌سازی می‌تواند در پیش‌بینی عملکرد راکتورهای بستر سیال فتوکاتالیستی به کار رود.

**واژه‌های کلیدی:** اکسایش فتوکاتالیستی، راکتور بستر سیال، شبیه‌سازی راکتور، مدل دینامیک دو فازی.

**KEY WORDS:** Photocatalytic oxidation, Fluidized bed reactor, Reactor simulation, Dynamic two-phase model.

+E-mail: sotudeh@ut.ac.ir

\*عهده دار مکاتبات

**مقدمه**

از راکتورهای گوناگون مانند راکتورهای صفحه تخت، مونولیت لانه زنبوری، حلقوی و بستر سیال استفاده شده است. راکتورهای گفته شده به غیر از راکتور بستر سیال در گروه راکتورهای بستر ثابت تقسیم بندی می‌شوند. در راکتورهای بستر ثابت، کاتالیست در محل خود ثابت و بدون تحرک است. درحالی که در راکتور بستر سیال، ذراتی که بر روی آنها کاتالیست نشانده شده است، در درون راکتور به راحتی سیال شده و حرکت می‌کنند. از آنجایی که در راکتورهای بستر سیال شدت جریان‌های به نسبت بالایی از جریان گاز وارد راکتور می‌شود و تماس مؤثری بین فوتون‌های نور فراینش، کاتالیست جامد و واکنش دهنده‌ها فراهم می‌شود، در سال‌های اخیر مورد توجه پژوهشگران قرار گرفته‌اند [۶ - ۷].

مدل‌سازی و شبیه‌سازی راکتورهای راکتور بستر سیال فتوکاتالیستی به منظور افزایش اندازه‌های راکتور از مقیاس آزمایشگاهی به مقیاس صنعتی و بهینه سازی و کنترل کارکرد آن نیاز است [۱۰]. چون هر دو پدیده‌ی فیزیکی و شیمیایی با هم در چنین راکتورهایی وجود دارند، لازم است که زیرمدل‌های مناسب در مدل‌سازی در نظر گرفته شود. این زیرمدل‌ها شامل هیدرودینامیک و سینتیک می‌باشد. زیر مدل هیدرودینامیکی ویژگی‌های فیزیکی سامانه را توصیف می‌کند؛ یعنی تشکیل فاز حباب<sup>(۱)</sup> و فاز تعلیق<sup>(۲)</sup>، ویژگی‌های این فازها و برهم‌کشن بین آن‌ها؛ و زیرمدل سینتیکی پدیده‌های شیمیایی را توصیف می‌نماید که بیانگر واکنش‌های صورت گرفته در بستر می‌باشند. هیدرودینامیک بسترها سیال در میان سایر تماس‌دهنده‌های گاز - جامد مانند بسترها ثابت و متحرک پیچیدگی بیشتری دارد [۱۱].

بیشتر مدل‌های هیدرودینامیکی معرفی شده در منابع بر مبنای نظریه‌ی دوفازی استوار می‌باشند. طبق این نظریه بستر سیال شده شامل دو فاز مجزای حباب و تعلیق است. فاز حباب در برگیرنده‌ی بخشی از بستر است که غنی از فاز گاز می‌باشد؛ و فاز تعلیق در برگیرنده‌ی بخشی از بستر است که غنی از فاز جامد می‌باشد [۱۲]. در این پژوهش، برای پیش‌بینی رفتار راکتور بستر سیال فتوکاتالیستی از زیرمدل سینتیکی و هیدرودینامیکی مناسب استفاده شد. اعتبار این مدل‌ها از روش مقایسه نتیجه‌های شبیه‌سازی با نتیجه‌های آزمایشگاهی موجود در منابع علمی مورد بررسی قرار گرفت. همچنین در ادامه، اثر پارامترهای عملیاتی یعنی غلظت اولیه‌ی آلاند و سرعت ظاهری گاز بر روی

ترکیب‌های آلی فرار دارای یک اتم کربن یا بیشتر هستند که فشار بخار بالایی دارند و به راحتی در اتمسفر منتشر می‌شوند. به دلیل اینکه این ترکیب‌ها به طور مستقیم وارد هوا می‌شوند، به عنوان آلانددهای اصلی دسته‌بندی می‌شوند. انتشار ترکیب‌های آلی فرار می‌تواند نقش چشمگیری در تشکیل مه دود شهری بازی کند و باعث تشکیل مواد سمی به وسیله‌ی اکسایش فتوشیمیابی در اتمسفر شود. به منظور کاهش مقدار این آلانددها در محیط‌زیست، روش‌های بسیاری در طی سال‌های اخیر مورد بررسی قرار گرفته است [۱ - ۳].

جذب سطحی، احتراق حرارتی و کاتالیستی و تبدیل فتوکاتالیستی از جمله روش‌های مورد استفاده برای تصفیه آلانددهای آلی از هوا می‌باشد [۴]. روش‌های جذب سطحی آلانددها را از بین نمی‌برند بلکه فقط آنها را از فاز گازی جدا کرده و به فاز جامد منتقل می‌کنند. به دنبال استفاده از جاذب‌های جامد، مسائل زیست محیطی مانند دفن بهداشتی آنها مطرح می‌شود [۵]. روش سوختن کاتالیستی یکی دیگر از روش‌های مورد استفاده برای تصفیه آلانددهای آلی می‌باشد که نیاز به منبع گرمایی دارد. این روش به عنوان یک فرایند با هدر رفت بالای انرژی در غلظت‌های پایین ترکیب‌های آلی فرار می‌باشد. افزون بر این، روش سوختن کاتالیستی می‌تواند تشکیل فراورده‌های جانبی مانند دی‌اکسین‌ها را در بی داشته باشد [۶].

در تبدیل فتوکاتالیستی آلانددهای آلی از نیمه هادی‌هایی مانند تیتانیوم دی‌اکسید برای حمل فوتون فرایند اکسایش به منظور تبدیل ترکیب‌های آلی فرار به کربن دی‌اکسید و آب استفاده می‌شود. این روش برای تبدیل ترکیب‌های آلی فرار در هر دو فاز گاز و مایع می‌باشد و در میان روش‌های تصفیه‌ی آلانددها، تبدیل فتوکاتالیستی از نظر اقتصادی و زیستمحیطی پذیرفته شده است [۷]. تیتانیوم دی‌اکسید که به طور فرازینده به عنوان فتوکاتالیست این فرایندها استفاده می‌شود یک پودر غیر سمی می‌باشد. افزون بر این واکنش فتوکاتالیستی در دما و فشار محیط بدون هیچ افزودنی<sup>(۳)</sup> صورت می‌گیرد. همچنین در آینده، اگر بتوان از نور خورشید به عنوان منبع تولید فوتون‌ها استفاده کرد، تبدیل فتوکاتالیستی یک فرایند با ذخیره انرژی به شمار خواهد رفت [۸]. در مطالعه اکسایش فتوکاتالیستی ترکیب‌های آلی فرار

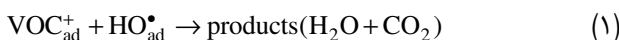
(۱) Additive

(۲) Bubble phase

(۳) Emulsion phase

### زیر مدل سینتیکی

مدل سینتیکی لانگمویر - هینشلوود به طور گستردگی برای توصیف واکنش‌های کاتالیستی استفاده می‌شود [۱۸]. همچنین این مدل به‌طور گستردگی در مدل‌سازی واکنش‌های فتوکاتالیستی استفاده می‌شود [۱۹]. مدل سینتیکی لانگمویر - هینشلوود می‌تواند به‌طور موفقیت آمیزی سینتیک واکنش بین دو جزء جذب شده یعنی رادیکال هیدروکسیل و آلاینده را توصیف کند (معادله ۱). آلاینده جذب شده در معادله (۱) توسط واکنش‌های معادله‌های (۲) و (۳) تولید می‌شود.



اکسایش فتوکاتالیستی ممکن است نتیجه‌ی یک مکانیسم پیچیده و شامل تعداد زیادی واکنش باشد [۲۰]. اما با توجه به اینکه اندازه‌گیری مقدار واکنش در منابع تنها براساس تبدیل کلی آلاینده می‌باشد، ساده‌تر اکسایشن و بخار آب (به‌دلیل اینکه به مقدار زیادی وجود دارند)، فرض می‌شود که فراورده‌ها و مواد واسطه واکنش به طور ضعیف یا غیر روابطی بر روی سطح کاتالیست جذب می‌شوند [۲۱]. بنابراین سرعت حذف آلاینده با سطح پوشش  $(2) \text{ آلاینده VOC}_{\text{ad}} \theta_{\text{VOC}}$  بر روی کاتالیست تعییر می‌کند (معادله ۴). ثابت‌های مدل لانگمویر - هینشلوود یعنی ثابت سرعت واکنش  $k_{\text{deg}}$  و ثابت جذب  $K_{\text{LH}}$  با استفاده از یک برنامه بهینه ساز برای کمینه کردن مقدار  $\sigma^2$  که با معادله (۵) تعریف می‌شود، به دست می‌آید [۱۸].

$$R_{\text{VOC}} = k_{\text{deg}} \theta_{\text{VOC}} = k_{\text{deg}} \frac{K_{\text{LH}} C_{\text{VOC}}}{1 + K_{\text{LH}} C_{\text{VOC}}} \quad (4)$$

$$\sigma^2 = \sum_{i=1}^N \frac{(R_{\text{VOC exp},i} - R_{\text{VOC c},i})^2}{N - K} \quad (5)$$

که  $N$  بیان کننده‌ی تعداد کل آزمایش‌ها،  $K$  تعداد پارامترهایی که باید تعیین شود (در این مطالعه  $K$  برابر با ۲ است)،  $R_{\text{VOC c},i}$  سرعت واکنش محاسبه شده برای آزمایش  $i$  و  $R_{\text{VOC exp},i}$  سرعت واکنش تجربی به دست آمده برای آزمایش  $i$  می‌باشد که به صورت معادله (۶) بیان می‌شود.

(۱) Dynamic Two Phase (DTP)

میزان تبدیل آلاینده‌ها از روش شبیه‌سازی بررسی شد و دقت آن از روش مقایسه با داده‌های آزمایشگاهی مورد ارزیابی قرار گرفت.

### بخش فظری

#### مدل‌سازی و شبیه‌سازی

بر اساس مطالب عنوان شده در بخش قبل، به‌منظور مدل‌سازی یک راکتور بستر سیال لازم است که زیرمدل‌های هیدرودینامیکی و سینتیکی که به‌ترتیب توصیف کننده‌ی پدیده‌ی فیزیکی و شیمیایی است، در نظر گرفته شوند. در میان مدل‌های هیدرودینامیکی موجود در منابع علمی، مدل دینامیک دو فازی (DTP)<sup>(۱)</sup>، به دلیل نزدیکی به پدیده‌های واقعی در راکتورهای بستر سیال، در این پژوهش مورد استفاده قرار گرفت [۱۳]. همچنین به‌منظور توصیف پدیده‌ی شیمیایی از مدل سینتیکی لانگمویر - هینشلوود که به‌طور گستردگی برای توصیف واکنش‌های کاتالیستی به کار می‌رود، استفاده شد. به‌منظور شبیه‌سازی راکتور بستر سیال لازم است که زیر مدل هیدرودینامیکی با زیر مدل سینتیکی به‌طور همزمان حل شوند.

### زیر مدل هیدرودینامیکی

در مدل DTP همانند سایر مدل‌های دو فازی، بستر سیال شده به دو فاز حباب و تعليق تقسيم می‌شود. اما بر خلاف مدل دو فازی ساده، فرضیه‌های به کار رفته در آن واقعی‌تر هستند. در این مدل فاز تعليق در شرایط حداقل سیالیت باقی نمی‌ماند و ذره‌های جامد در هر دو فاز حباب و تعليق وجود دارند. بنابراین پیشرفت واکنش در هر دو فاز در نظر گرفته می‌شود. همچنین جریان گاز در هر دو فاز به صورت جریان قالبی فرض می‌شود. در این مدل با انجام آزمایش در سرعت‌های گوناگون با استفاده از دو نمونه ذره‌های جامد به عنوان نماینده گروههای گلدارت A و B و محاسبه احتمال حضور ذره‌های جامد در هر یک از فازهای حباب و تعليق روابطی برای محاسبه پارامترهای هیدرودینامیکی ارایه شده است [۱۴، ۱۳]. با توجه به اینکه کاتالیست مورد استفاده در این مطالعه در گروه‌بندی گلدارت B قرار می‌گیرد، از رابطه‌های ارایه شده برای این گروه‌بندی برای ارزیابی پارامترهای هیدرودینامیکی استفاده شده است. معادله‌های جرم برای جزء شرکت کننده‌ی A در فاز حباب و تعليق در جدول ۱ آمده است. همچنین رابطه‌های سیال سازی و انتقال جرم مورد نیاز در جدول ۲ آمده است.

(۲) Surface Coverage

## جدول ۱- معادله‌های DTP

$\frac{dC_{Ab}}{dz} = -\frac{K_{be}(C_{Ab} - C_{Ae})}{U_b} + \frac{R_{Ab}(1-\varepsilon_b)\rho_s}{U_b}$	موازنۀ جزء A در فاز حباب
$\frac{dC_{Ae}}{dz} = \frac{K_{be}\delta(C_{Ab} - C_{Ae})}{U_e(1-\delta)} + \frac{R_{Ae}(1-\varepsilon_e)\rho_s}{U_e}$	موازنۀ جزء A در فاز امولسیون
$\bar{C}_A = \frac{U_{mf}}{U_0}(1-\delta)C_{Ae} + \frac{U_b}{U_0}\delta C_{Ab}$	غلظت متوسط جزء A
$\varepsilon_b = 1 - 0.146 \exp\left[\frac{-(U_0 - U_{mf})}{4.439}\right]$	تخلخل فاز حباب [۱۴]
$\varepsilon_e = \varepsilon_{mf} + 0.2 - 0.059 \exp\left[\frac{-(U_0 - U_{mf})}{0.429}\right]$	تخلخل فاز امولسیون [۱۴]
$\varepsilon = (1-\delta)\varepsilon_e + \delta\varepsilon_b$	میانگین تخلخل بستر
$\delta = 0.534 - 0.534 \exp\left[\frac{-(U_0 - U_{mf})}{0.413}\right]$	جزء فاز حباب [۱۴]
$U_e = \frac{U_0 - \delta U_b}{1 - \delta}$	سرعت گاز در فاز امولسیون

## جدول ۲- معادله‌های سیالسازی و انتقال جرم.

$\frac{U_{mf}\rho_g d_p}{\mu_g} = \sqrt{27.2^2 + 0.0408Ar} - 27.2$	حداقل سرعت سیالیت [۱۵]
$D_b = 0.21H^{0.8}(U_0 - U_{mf})^{0.42} \exp[-0.25(U_0 - U_{mf})^2 - 0.1(U_0 - U_{mf})]$	قطر حباب [۱۶]
$U_b = U_0 - U_e + u_{br} \quad u_{br} = 0.711\sqrt{gD_b}$	سرعت حباب [۱۷]
$\frac{1}{K_{be}} = \frac{1}{K_{bc}} + \frac{1}{K_{ce}} \quad K_{bc} = 4.5\left(\frac{U_e}{D_b}\right) + 5.85\left(\frac{D_{AB}^{1/2}g^{1/4}}{D_b^{5/4}}\right)$	ضرایب انتقال جرم بین فازها [۱۷]
$K_{ce} = 6.77\left(\frac{D_{AB}\varepsilon_e u_{br}}{D_b^3}\right)^{1/2}$	

جدول ۳- ویژگی های راکتور و شرایط عملیاتی.

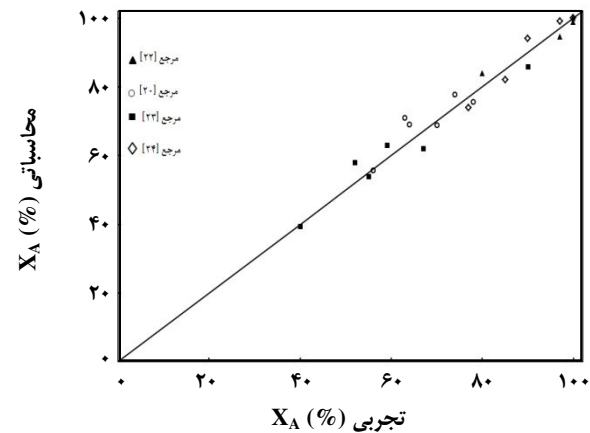
ویژگی ها	واحد	مرجع [۲۲]	مرجع [۲۰]	مرجع [۲۳]	مرجع [۲۴]
آلاینده	-	MEK	TCE	Toluene	Toluene
H	mm	۱۰۰	۲۲۰	۱۳۵	۳۰۲
D <sub>i</sub>	mm	۲۶	۳۹	۳۹	-
D <sub>o</sub>	mm	۴۰	۵۵	۴۹	۴۰
d <sub>p</sub>	μm	۷۴-۲۵۰	۲۵۰ - ۵۹۰	۱۲۵-۴۲۵	۲۵۰ - ۵۰۰
ρ <sub>s</sub>	kg/m <sup>3</sup>	۲۲۴۶	۲۱۹۰	۱۴۰۰	۱۳۹۰
C	ppm	۱۰۰ - ۸۰۰	۱۰۰ - ۵۰۰	۵-۳۵	۰.۹-۲۰۰
U <sub>mf</sub>	cm/s	۱/۱۷	۱/۷	۱.۰۶ - ۱.۲۳	۲.۰۱۷
U	cm/s	U <sub>mf</sub> -۴U <sub>mf</sub>	U <sub>mf</sub> -۶U <sub>mf</sub>	۱ - ۶	۶۶۳
k <sub>deg</sub>	μmol/g s	۰.۷۵	۱۳/۲۳	۰.۱۸۳	۰.۶۷ ppm/s
K <sub>LH</sub>	Lit/ μmol	۰.۱۰۴۴	۰.۱۵۸۳	۴.۳۶۷	-

### نتیجه ها و بحث

به منظور تعیین اعتبار مدل در شبیه سازی راکتورهای بستر سیال فتوکاتالیستی از مجموعه داده های تجربی ارایه شده در مقاله ها استفاده شده است. ویژگی های راکتورها و شرایط عملیاتی آنها در جدول ۳ آمده است. همچنین ثابت های سینتیکی مدل لانگمویر - هینشلود و برای تبدیل فتوکاتالیستی هر یک از آلاینده های آلی که در راکتورهای جدول ۳ بررسی شده است، محاسبه شد و نتیجه های به دست آمده از آن در جدول ۳ آمده است.

نمودار مقایسه ای درصد تبدیل محاسبه شده در برابر داده های تجربی برای سه آلاینده ای آلی یعنی متیل اتیل کتون، تری کلرواتبلن و تولوئن در شکل ۱ نشان داده می شود. در این شکل دیده می شود که مدل DTP پیش بینی قابل قبولی از درصد تبدیل آلاینده ها ارایه می دهد. چون همان گونه که در پیش تر اشاره شد، این مدل فرضیه های واقعی تری را در نظر می گیرد. هر چند تفاوتی میان نتیجه های به دست آمده از مدل سازی و نتیجه های تجربی دیده می شود ولی بیشترین خطای دیده شده ۱۲ درصد است که قابل قبول می باشد.

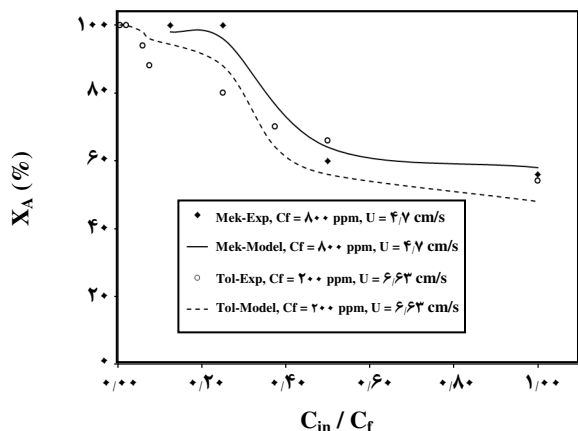
اثر غلظت اولیه آلاینده بر روی میزان تبدیل آن در یک سرعت ظاهری مشخص در شکل های ۲ و ۳ نمایش داده شده است. با توجه به شکل ۲ دیده می شود که با افزایش غلظت متیل اتیل کتون از ppm ۲۰۰ به ۸۰۰ و همچنین با افزایش



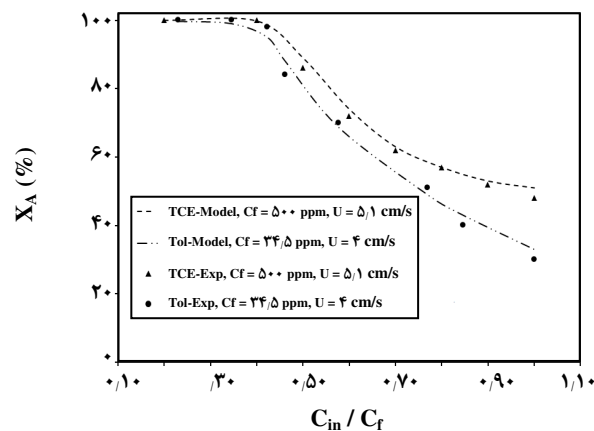
شکل ۱- مقایسه نتیجه های به دست آمده از شبیه سازی با نتیجه های تجربی به دست آمده از مراجع.

که در آن، Q بیان کننده شدت جریان جریان در ورودی راکتور، C<sub>VOC,in</sub> و C<sub>VOC,out</sub> به ترتیب غلظت آلاینده در ورودی و خروجی راکتور و W وزن فتوکاتالیست در داخل راکتور می باشد. که به صورت معادله (۶) بیان می شود.

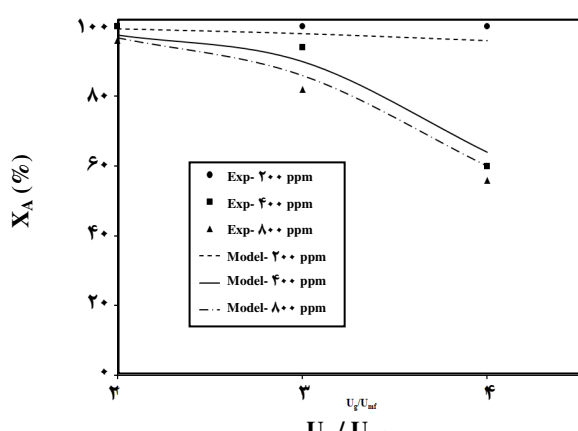
$$R_{VOCexp} = \frac{Q(C_{VOC,in} - C_{VOC,out})}{W} \quad (6)$$



شکل ۲- نتیجه‌های تجربی و شبیه‌سازی اثر غلظت اولیه متیل اتیل کتون [۲۰] و تولوئن [۴۳] بر روی میزان تبدیل آنها.



شکل ۳- نتیجه‌های تجربی و شبیه‌سازی اثر غلظت اولیه تری کلرواتیلن [۲۰] و تولوئن [۲۳] بر روی میزان تبدیل آنها.



شکل ۴- نتیجه‌های تجربی و شبیه‌سازی اثر سرعت ظاهری گاز بر روی میزان تبدیل متیل اتیل کتون [۲۲].

غلظت تواوئن از ۴ ppm به ۲۰۰ درصد تبدیل آنها کاهش می‌یابد. نتیجه‌های همانندی توسعه لیم و کیم [۲۰] برای اکسایش فتوکاتالیستی تری کلرواتیلن در یک راکتور بستر سیال به دست آمد (شکل ۳). آنها گزارش کردند که تبدیل کامل تری کلرواتیلن با افزایش غلظت از ۱۰۰ ppm به ۲۰۰ کاهش نمی‌یابد. چون سیال سازی کاتالیست باعث افزایش میزان انتقال نور فرابنفش به سطح کاتالیست و همچنین بهبود تماس بین کاتالیست و آلاینده می‌شود. اما افزایش بیشتر غلظت تری کلرواتیلن باعث کاهش میزان تخریب آن می‌شود. که این می‌تواند به دلیل محدود بودن تعداد سایت‌های فعال بر روی فتوکاتالیست تیتانیوم دی اکسید باشد. همچنین نتیجه‌های همانند دیگری توسعه زنگ ولیاو [۲۳] برای تبدیل فتوکاتالیستی تولوئن در یک راکتور بستر سیال گزارش شد (شکل ۳).

عملکرد مدل DTP در پیش‌بینی میزان تبدیل آلاینده‌ها در غلظت‌های گوناگون از آنها را می‌توان در شکل ۲ و ۳ دید. همان‌گونه که در شکل‌ها دیده می‌شود، نتیجه‌هایی به دست آمده از این مدل در تواافق خوبی با نتیجه‌های تجربی می‌باشد. بنابراین این مدل به طور قابل قبولی قادر به پیش‌بینی میزان تبدیل آلاینده در غلظت‌های اولیه گوناگون است.

شکل ۴ نشان دهنده اثر سرعت ظاهری گاز بر روی میزان تبدیل فتوکاتالیستی متیل اتیل کتون می‌باشد. در غلظت‌های بالاتر، با افزایش سرعت ظاهری گاز از دو برابر  $U_{mf}$  به چهار برابر  $U_{mf}$  میزان تبدیل متیل اتیل کتون کاهش چشمگیری می‌یابد. حاج آفازاده و همکاران [۲۲] گزارش کردند که در سرعت‌های بالا، حباب‌ها به یکدیگر می‌پیوندند و باعث افزایش تخلخل بستر می‌شوند. افزایش تخلخل بستر منجر به کاهش زمان اقامت گاز در بستر و در نتیجه کاهش میزان تبدیل متیل اتیل کتون می‌شود [۲۵]. کیو و همکاران [۲۶] در بررسی اکسایش فتوکاتالیستی تولوئن در یک راکتور بستر سیال، کاهش میزان تبدیل آلاینده با افزایش شدت جریان گاز از ۵ به ۱۵ لیتر بر دقیقه را گزارش کردند. همچنین عملکرد مدل DTP در پیش‌بینی میزان تبدیل متیل اتیل کتون در سرعت‌های ظاهری گاز گوناگون در شکل ۴ نشان داده شده است. با توجه به شکل، دیده می‌شود که مدل به طور قابل قبولی قادر به پیش‌بینی نتیجه‌های تجربی در سرعت‌های گوناگون است؛ هر چند در غلظت‌های بالاتر با افزایش سرعت ظاهری گاز نتیجه‌های به دست آمده از شبیه‌سازی بیشتر از نتیجه‌های تجربی است. دلیل این افزایش پیش‌بینی با توجه به رابطه‌های تخلخل فاز حباب و تعليق در جدول ۱، این است که

$C_A$	غلظت جزء A, mol/L
$D_{AB}$	ضریب نفوذ, $m^2/s$
$D_b$	قطر متوسط حباب, m
$D_i$	قطر داخلی راکتور, m
$D_o$	قطر خارجی راکتور, m
$d_p$	قطر ذره, m
$G$	شتاب جاذبه, $m/s^2$
$H$	ارتفاع بستر, m
$K_{bc}$	ضریب انتقال جرم حباب به ابر, $1/s$
$K_{be}$	ضریب انتقال جرم حباب به تعليق, $1/s$
$K_{ce}$	ضریب انتقال جرم ابر به تعليق, $1/s$
$K_{LH}$	ثابت جذب, $L/mol$
$k_{deg}$	ثابت واکنش, $mol/g\ s$
$P$	فشار عملیاتی راکتور, Pa
$Q$	شدت جریان کلی جریان, L/s
$R$	سرعت واکنش, $mol/g\ s$
$R_{Ab}$	سرعت واکنش در فاز حباب, $mol/g\ s$
$R_{Ae}$	سرعت واکنش در فاز تعليق, $mol/g\ s$
$T$	دماهی عملیاتی راکتور, K
$W$	وزن فتوکاتالیست, g
$U$	سرعت ظاهری گاز, m/s
$U_b$	سرعت حباب, m/s
$U_e$	سرعت تعليق, m/s
$U_{mf}$	حداقل سرعت سیالیت, m/s
$u_{br}$	سرعت صعود حباب, m/s
$Z$	موقعیت بالای توزیع کننده, m
<b>حروف یونانی</b>	
$\delta$	جزء فاز حباب
$\theta$	سطح پوشش
$\rho_g$	دانسیته گاز, $kg/m^3$
$\rho_s$	دانسیته جامد, $kg/m^3$
$\mu_g$	ویسکوزیته گاز, Pa s
$\varepsilon$	میانگین تخلخل بستر
$\varepsilon_b$	تخلخل فاز حباب
$\varepsilon_c$	تخلخل فاز تعليق

در مدل DTP مقدارهای تخلخل در فاز حباب و تعليق بيشتر از مقدار واقعی تخمين زده می‌شود. محاسبه نشدن دقیق اين پارامترها هیدرودینامیکی توسط مدل DTP به اين علت است که مقدار ثابت‌های مورد استفاده در مجموعه معادله‌های ياد شده در جدول ۱ برای ذره‌های گلدارت B بر مبنای سامانه گاز - جامدی متفاوت از سامانه‌های مورد استفاده در اين پژوهش تعیین شده است. در سامانه‌های مورد استفاده در اين پژوهش، سرعت کمینه DTP سیال‌سازی کمتر از سامانه‌ای است که آزمایش‌های مدل DTP روی آن انجام شده است؛ به همین علت طبق معادله‌های ياد شده در جدول ۱ مقدارهای تخلخل در فاز تعليق و حباب بيشتر از مقدارهای واقعی محاسبه می‌شوند، و در نتيجه میزان درصد تبدیل آلاینده‌ها بيشتر از مقدارهای تجربی پیش‌بینی می‌شود.

## نتیجه‌گیری

در اين پژوهش، راکتور بستر سیال اکسایش فتوکاتالیستی ترکیب‌های آلی فرار از هوا شیوه‌سازی شد. با مقایسه‌ی نتیجه‌های به دست آمده از شیوه‌سازی و داده‌های تجربی، دیده شد که مدل DTP از دقت بالايی در شیوه‌سازی راکتور بستر سیال فتوکاتالیستی برخوردار است. همچنین اثر پارامترهای عملیاتی يعني غلظت اوليه‌ی آلاینده و سرعت ظاهری گاز بر روی میزان تبدیل آلاینده‌ها از روش شیوه‌سازی بررسی شد. نتیجه‌های به دست آمده از شیوه‌سازی نشان دادند که رفتار میزان تبدیل آلاینده‌ها نسبت به تغیيرهای غلظت اوليه‌ی آلاینده و سرعت ظاهری گاز به طور دقیق همانند نتیجه‌های تجربی است؛ بهطوری که هم نتیجه‌های به دست آمده از شیوه‌سازی و هم داده‌های تجربی نشان دادند که افزایش غلظت اوليه‌ی آلاینده‌ها و افزایش سرعت ظاهری گاز باعث کاهش میزان آلاینده‌ها می‌شود. می‌توان انتظار داشت که راکتور بستر سیال بتواند به طور مؤثر برای تبدیل فتوکاتالیستی آلاینده آلی فرار به کار رود؛ با این وجود برای کارایی بيشتر راکتور پيدا کردن غلظت اوليه مناسب آلاینده و سرعت ظاهری مناسب گاز نياز است. برای اين منظور، می‌توان با استفاده از شیوه‌سازی راکتور بستر سیال فتوکاتالیستی با استفاده از مدل DTP پیش از انجام آزمایش مقدار غلظت اوليه مناسب آلاینده و سرعت ظاهری مناسب گاز را پیش‌بینی کرد.

## فهرست نمادها

$$Ar = \frac{d_p^3 \rho_g (\rho_s - \rho_g)}{\mu_g^2}$$

عدد ارشمیدس،

زیر نویس‌ها	out	خروجی	
حباب	TCE	تری کلرواتیلن	b
تعليق			e
ورودی			in
متیل اتیل کتون	تاریخ دریافت: ۱۳۹۱/۱۰/۲۴	تاریخ پذیرش: ۱۳۹۲/۱۱/۲	MEK

## مراجع

- [1] Alberici R.M., Jardim W.F., Photocatalytic Destruction of VOCs in the Gas-Phase Using Titanium Dioxide, *Applied Catalysis B: Environmental*, **14**, p. 55 (1997).
- [2] Avila P., Bahamonde A., Blanco J., Sanchez B., Cardona A., Romero M., Gas-Phase Photo-Assisted Mineralization of Volatile Organic Compounds by Monolithic Titania Catalysts, *Applied Catalysis B: Environmental*, **17**, p. 75 (1998).
- [3] Beauchet R., Magnoux P., Mijoin J., Catalytic Oxidation of Volatile Organic Compounds (VOCs) Mixture (Isopropanol/o-xylene) on Zeolite Catalysts, *Catalysis Today*, **124**, p. 118 (2007).
- [4] Sano T., Negishi N., Takeuchi K., Matsuzawa S., Degradation of Toluene and Acetaldehyde with Pt-Loaded TiO<sub>2</sub> Catalyst and Parabolic Trough Concentrator, *Solar Energy*, **77**, p. 543 (2004).
- [5] Kim K.J., Kang C.S., You Y.J., Chung M.C., Woo M.W., Jeong W.J. et al., Adsorption-Desorption Characteristics of VOCs Over Impregnated Activated Carbons, *Catalysis today*, **111**, p. 223 (2006).
- [6] Samantaray S.K., Parida K., Modified TiO<sub>2</sub>/SiO<sub>2</sub> Mixed Oxides: Effect of Manganese Concentration and Activation Temperature Towards Catalytic Combustion of Volatile Organic Compounds, *Applied Catalysis B: Environmental*, **57**, p. 83 (2005).
- [7] Bouzaza A., Laplanche A., Photocatalytic Degradation of Toluene in the Gas Phase: Comparative Study of Some TiO<sub>2</sub> Supports, *Journal of Photochemistry and Photobiology A: Chemistry*, **150**, p. 207 (2002).
- [8] Sano T., Negishi N., Kutsuna S., Takeuchi K., Photocatalytic Mineralization of Vinyl Chloride on TiO<sub>2</sub>, *Journal of Molecular Catalysis A: Chemical*, **40**, p. 168 (2001).
- [9] Motamed Dashliborun A., "Experimental Study and Modeling of Photocatalytic Oxidation of Volatile Organic Compound (VOC) by Titanium Dioxide Nanoparticles in a Fluidized Bed Reactor," M.Sc. Thesis, University of Tehran, Iran (2012).
- [10] Jafari R., Sotudeh-Gharebagh R., Mostoufi N., Modular Simulation of Fluidized Bed Reactors *Chemical Engineering & Technology*, **27**, p. 123 (2004).
- [11] Karimi Golpayegani M., "Photocatalysis for Waste Gas Treatment: Kinetics and Fluidized Bed Reactor Modeling," M.Sc. Thesis, University of Calgary, Canada (2008).

- [12] Jafari R., Sotudeh-Gharebagh R., Mostoufi N., **Two-Phase Simulation of Gas-Solid Fluidized Bed Reactors by Tanks-in-Series Model**, *Nashrieh Shimi va Mohandes Shimi Iran*, **23**(2), p. 33 (2004). [in Persian].
- [13] Mostoufi N., Cui H., Chaouki J., **A Comparison of Two-and Single-Phase Models for Fluidized-Bed Reactors**, *Industrial & Engineering Chemistry Research*, **40**, p. 5526 (2001).
- [14] Cui H., Mostoufi N., Chaouki J., **Characterization of Dynamic Gas-Solid Distribution in Fluidized Beds**, *Chemical Engineering Journal*, **79**, p. 133 (2000).
- [15] Wen C., Yu Y., **A Generalized Method for Predicting the Minimum Fluidization Velocity**, *AICHE Journal*, **12**, p. 610 (1966).
- [16] Cai P., Schiavetti M., De Michele G., Grazzini G., Miccio M., **Quantitative estimation of bubble size in PFBC**, *Powder technology*, **80**, p. 99 (1994).
- [17] Kunii D., Levenspiel O., “**Fluidization Engineering**”: Butterworth-Heinemann Boston; (1991).
- [18] Fogler H. S., “**Elements of Chemical Reaction Engineering**”, London: Prentice-Hall International; (1999).
- [19] Peral J., Domnech X., Ollis F., **Heterogeneous Photocatalysis for Purification, Decontamination and Deodorization of Air**, *Wiley Online Library*, p. 117 (1997).
- [20] Lim T.H., Kim S.D., **Trichloroethylene Degradation by Photocatalysis in Annular Flow and Annulus Fluidized Bed Photoreactors**, *Chemosphere*, **54**, p. 305 (2004).
- [21] Tomašić V., Jović F., Gomzi Z., **Photocatalytic Oxidation of Toluene in the Gas Phase: Modelling an Annular Photocatalytic Reactor**, *Catalysis Today*, **137**, p. 350 (2008).
- [22] Hajaghazadeh M., Kakooei H., Motamed Dashliborun A., Sotudeh-Gharebagh R., Golbabaei F., Afshar S. et al., **Photocatalytic Degradation of Methyl Ethyl Ketone by Nano TiO<sub>2</sub> in a Fluidized Bed Reactor**, *Fresenius Environmental Bulletin*, **22** (2012).
- [23] Zhang X., Liao C., **Photocatalytic Degradation of Toluene by Nano-TiO<sub>2</sub> in a Fluidized Bed**, Beppress, p. 73 (2007).
- [24] Prieto O., Fermoso J., Irusta R., **Photocatalytic Degradation of Toluene in Air Using a Fluidized Bed Photoreactor**, *International Journal of Photoenergy*, **2007**, p. 1 (2007).
- [25] Lim T.H., Kim S.D., **Photo-Degradation Characteristics of TCE (Trichloroethylene) in an Annulus Fluidized Bed Photoreactor**, *Korean Journal of Chemical Engineering*, **21**, p. 905 (2004).
- [26] Kuo H., Wu C., Hsu R., **Continuous Reduction of Toluene Vapours from the Contaminated Gas Stream in a Fluidised Bed Photoreactor**, *Powder Technology*, **195**, p. 50 (2009).